



УДК 577.112:593.65

АКТИНОПОРИНЫ ИЗ АКТИНИИ ЯПОНСКОГО МОРЯ *Oulactis orientalis*: ВЫДЕЛЕНИЕ И ЧАСТИЧНАЯ ХАРАКТЕРИСТИКА

© 2005 г. А. П. Ильина*, М. М. Монастырная*, И. Н. Сокотун*, Ц. А. Егоров**,
Ю. А. Назаренко*, Г. Н. Лихацкая*, Э. П. Козловская*

*Тихоокеанский институт биоорганической химии ДВО РАН,
690022, Владивосток, просп. 100 лет Владивостоку, 159;

**Институт биоорганической химии им. акад. М.М. Шемякина
и Ю.А. Овчинникова РАН, Москва

Поступила в редакцию 22.12.2003 г. Принята к печати 03.02.2004 г.

Из актинии Японского моря *Oulactis orientalis* выделены и охарактеризованы два цитолитических токсина (цитолизины Or-A и Or-G). Схема очистки включает гидрофобную хроматографию на полихроме-1, гель-фильтрацию на Акрилексе П-4, ионообменную хроматографию на цеплополозе СМ-32, обращенно-фазовую ВЭЖХ на колонке Nucleosil C₁₈. Молекулярная масса *Oulactis* цитолизинов по данным SDS-электрофореза в 14% ПААГ составляет 18 кДа. Характерной особенностью их аминокислотного состава является отсутствие остатков цистеина и высокое содержание основных аминокислот. Гемолитическая активность Or-A и Or-G составляет 295.86 и 322.58 ГЕ/мг соответственно, что на два порядка ниже активности сфингомиелинингибурируемых цитолизинов тропических актиний. Определена аминокислотная последовательность *N*-концевых фрагментов Or-A (ATFRVLAK) и Or-G (GAAGAA). Показано, что действие *Oulactis* цитолизинов на эритроцитарную мембрану ингибируется экзогенным сфингомиелином. В бислойных липидных мембранных они образуют ионные каналы с проводимостью 16, 32 и 40 пСм в 0.1 М NaCl и 168, 240 и 320 пСм в 1 М NaCl при pH 7.2, что позволяет отнести выделенные цитолизины к группе актинопоринов.

Ключевые слова: актинии; актинопорины; аминокислотная последовательность; мембранолитическое действие.

ВВЕДЕНИЕ

Актинии являются продуцентами разнообразных биологически активных полипептидов [1–5]. В последние годы большой интерес исследователей привлекают цитолитические токсины актиний – цитолизины, так как благодаря мощному мембранолитическому действию они проявляют противоопухолевую, антипаразитарную, антимикробную, дерматонекротическую и другие виды биологической активности [4, 6–8]. Цитолизины, кроме того, находят применение в качестве инструментов исследования молекулярной организации и механизмов функционирования биологических и модельных мембран [9–11].

К настоящему времени выделены и охарактеризованы цитолизины более чем из 30 видов актиний. На основании их первичной структуры и физико-химических характеристик они разделены на четыре группы [3]. К первой группе относят цитолизины с *M* 5–8 кДа. Они обнаружены в *Tealia felina* [12], *Radianthus macrodactylus* [1] и *Condylactis aurantiaca* [3]. Показано, что невысо-

кая гемолитическая активность низкомолекулярных цитолизинов не ингибируется сфингомиелином [12, 13]. Эти токсины проявляют также антигистаминную активность. Отличительной чертой их аминокислотного состава является отсутствие триптофана и наличие шести остатков цистеина.

Вторую наиболее изученную группу цитолизинов составляют высокоосновные полипептиды (*pI* 9 и выше) с молекулярной массой 20 кДа, выделенные из различных видов семейств Actiniidae и Stichodactylidae, обитающих в основном в тропических регионах Мирового океана [1–5, 14]. Показано, что они проявляют мощное литическое действие на сфингомиелинодержащие мембранны эукариот, образуя в них катион-селективные ионные каналы (поры), благодаря чему получили название актинопорины [1, 15, 16]. Характерной особенностью их аминокислотного состава является отсутствие цистеина. К настоящему времени установлены аминокислотные последовательности восьми актинопоринов, причем наблюдается повышение интереса исследователей к изучению структуры и функции рекомбинантных форм актинопоринов, получаемых методами генетической инженерии [3].

* Автор для переписки (факс: (4232) 31-40-50; эл. почта: annil@piboc.dvo.ru).

Таблица 1. Схема выделения цитолизинов из актинии *O. orientalis*

Стадия очистки	Суммарный белок, мг	Выход, %
Исходный водный экстракт	20000	100
Хроматография на полихроме-1 (рис. 1):		
пик 1	6500	32.5
Гель-фильтрация на Акрилексе П-4 гемолит. фракций пика 1 рис. 1 (рис. 2):		
пик 1	2500	12.5
пик 2	1400	7
Ионообменная хроматография на СМ-32 целлюлозе гемолит. фракций пика 1 рис. 2:		
пик 3	90	0.45
ВЭЖХ на Nucleosil C ₁₈ гемолит. фракций пика 3 рис. 3 (рис. 4):		
фракция 1 (Or-A)	5	0.025
фракция 2 (Or-G)	2.8	0.014

В третью группу входят летальные цитолитические фосфолипазы A₂ из *Stichodactyla helianthus* [17] и *Aiptasia pallida* [18] с *M* 30–40 кДа и подобные им по физико-химическим свойствам цитолизины без ферментативной активности [3].

Единственным представителем четвертой группы цитолизинов является метридиолизин, выделенный из актинии *Metridium senile* (*M* 80 кДа, *pI* 5.7) [19]. Его гемолитическая активность на порядок ниже активности сфингомиелинингибуруемых цитолизинов второй группы, при действии на холестеринсодержащие бислойные липидные мембранны метридиолизин формирует в них короткоживущие ионные каналы [20].

Выделение и установление аминокислотной последовательности новых актинопоринов, в том числе и из малоисследованных дальневосточных видов актиний, особенно актуально в свете существующей гипотезы Нортон об их роли в качестве видовых хемотаксономических маркеров [21]. В настоящее время исследование функции биологически активных полипептидов на молекулярном уровне требует знаний об их первичной, вторичной и пространственной структуре.

Целью данной работы является выделение актинопоринов из дальневосточной актинии *Oulactis orientalis*, изучение их физико-химических свойств, липидной специфичности, механизма действия на модельных мембранных, установление аминокислотной последовательности *N*-концевых фрагментов и сравнение с аналогичными характеристиками и структурой актинопоринов тропических видов актиний.

РЕЗУЛЬТАТЫ И ОБСУЖДЕНИЕ

В результате ранее проведенного скрининга актиний северных умеренных вод (Японского и Охотского морей) с целью поиска источников биологически активных полипептидов нами был выбран широко распространенный в заливе Посьета Японского моря вид – актиния *O. orientalis* (семейство Actiniidae), водные экстракти которой показали значительную гемолитическую и A₂-фосфолипазную активности, а спиртовые – токсическую и трипсинингибурующую активности [22].

Обычно для выделения цитолизинов из актиний используют схемы, включающие осаждение активных полипептидов ацетоном или сульфатом аммония с их последующей гель-фильтрационной и ионообменной хроматографией. В индивидуальном состоянии полипептиды получают ионообменной и обращенно-фазовой ВЭЖХ [1–4, 14].

Мы использовали схему выделения цитолизинов из *O. orientalis*, включающую гидрофобную хроматографию на полихроме-1 (политетрафторэтилен), обессоливание и гель-фильтрацию на Акрилексе П-4, ионообменную хроматографию на целлюлозе СМ-32 и обращенно-фазовую ВЭЖХ на колонке Nucleosil C₁₈ (табл. 1). На всех стадиях выделения во фракциях определяли гемолитическую активность, а на первых стадиях кроме гемолитической также и трипсинингибурующую активность, так как известно, что актинии продуцируют значительное количество низко- и высокомолекулярных ингибиторов протеиназ с *M* 6 и 14 кДа соответственно [13, 23–25]. С целью разделения цитолизинов и ингибиторов протеиназ на первой стадии выделения водный экстракт после центрифугирования и удаления осадка хроматографировали на гидрофобном сорбенте по-

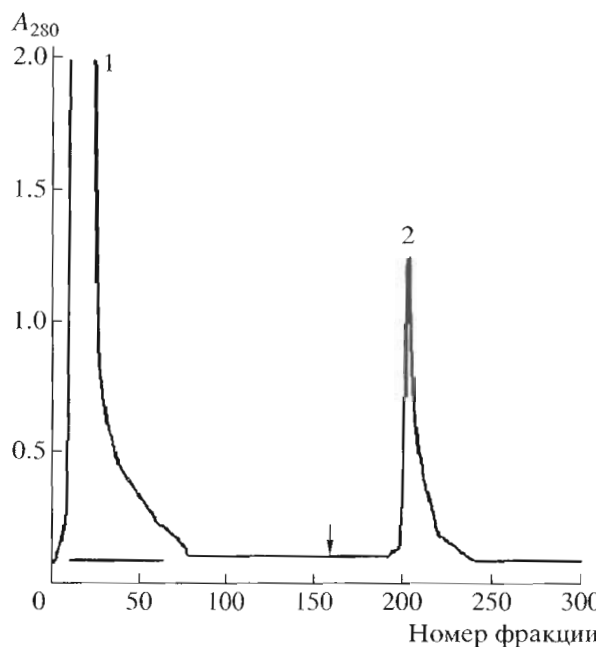


Рис. 1. Гидрофобная хроматография водного экстракта актинии *O. orientalis* на колонке (2.6 × 15 см) с полихромом-1. Элюция гемолизинов водой (1500 мл), ингибиторов трипсина – 40%-ным этиловым спиртом [26]. Скорость элюции 3 мл/мин. Объем фракции 9 мл. Отмечены границы объединения фракций, проявивших гемолитическую активность. Стрелкой показан момент смены элюента.

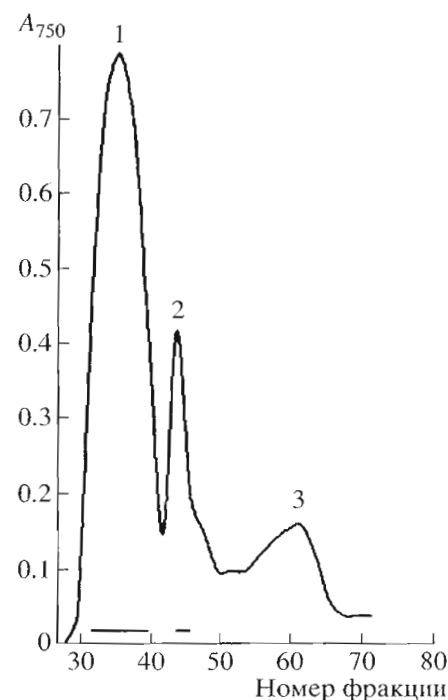


Рис. 2. Гель-фильтрация и обессоливание водной фракции после полихрома-1 (пик 1, рис. 1) на колонке (3 × 90 см) с Акрилексом П-4. Элюция 0.01 M аммоний-ацетатным буфером, pH 6.0. Скорость элюции 18 мл/ч. Объем фракции 4.5 мл. Отмечены границы объединения фракций, проявивших гемолитическую активность.

лихроме-1 (рис. 1), который обычно используют в лаборатории для концентрирования и обессоливания нейротоксинов и ингибиторов протеиназ. Ранее было установлено, что цитолизины элюируются с полихромом вслед за свободным объемом воды, а ингибиторы трипсина, хорошо сорбирующиеся этим носителем, – 40%-ным этиловым спиртом [26]. В водной фракции были идентифицированы полипептиды с гемолитической активностью (пик 1), а в спиртовой после упаривания этианола обнаружены полипептиды с трипсинингибирующей активностью (пик 2).

Известно, что 80% веса актинии составляет морская вода. Поэтому водные фракции, содержащие значительное количество морской соли, после хроматографии на полихроме-1 лиофилизировали и затем хроматографировали на Акрилексе П-4 (рис. 2), который обычно применяется нами для обессоливания водных экстрактов актиний. Помимо обессоливания этот сорбент позволяет разделять небольшого размера полипептиды по молекулярной массе. В результате гель-фильтрации получено три пика, фракции первых двух обладали значительной гемолитической активностью. Трипсинингибирующей активности в исследуемых трех фракциях не обнаружено.

Для дальнейшей очистки цитолитических полипептидов 1-го пика рис. 2 использовали ионообменную хроматографию на целлюлозе СМ-32 (рис. 3). Гемолитически активные фракции 1-го пика показали фосфолипазную активность, в то время как во фракциях правого склона пика 3 идентифицированы только прямые гемолитики, цитолизины, которые после объединения и дигидратации были лиофилизированы и подверглись дальнейшему разделению.

На завершающей стадии очистки цитолизинов использовали ВЭЖХ на колонке с обращенной фазой Nucleosil C₁₈ (рис. 4). Полученные в результате ВЭЖХ гемолитически активные полипептиды пиков 1 и 2 были гомогенны (данные SDS-электрофореза в 14% ПААГ, масс-спектрометрического анализа и N-концевого аминокислотного анализа). Согласно N-концевым остаткам цитолизинов – аланину (пик 1) и глицину (пик 2) и принятой для названий цитолизинов актиний аббревиатуре [1], они были названы нами *Oulactis* цитолизинами Or-A и Or-G.

По данным SDS-электрофореза, молекулярная масса обоих цитолизинов составляет 18 кДа, согласно данным MALDI-TOF, она равна 15353.7 и 16035.9 Да для Or-A и Or-G. Близкие значения молекулярных масс имеют актинопорины из тро-

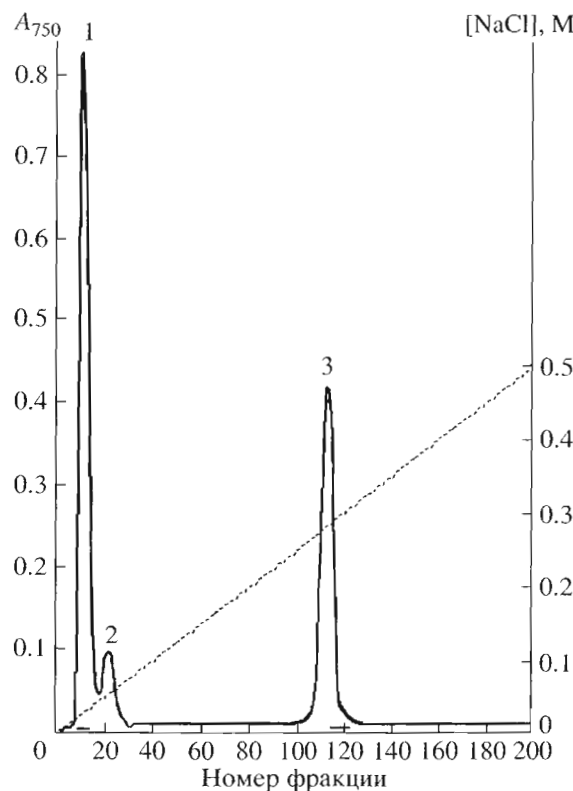


Рис. 3. Ионообменная хроматография гемолитических фракций пика 1 (рис. 2) на колонке (2.6×50 см) с целлюлозой CM-32 в градиенте концентрации NaCl (0–0.5 М) в 0.01 М аммоний-ацетатном буфере, pH 6.0. Скорость элюции 24 мл/ч. Объем фракции 10 мл. Отмечены границы фракций, проявивших гемолитическую активность.

тических видов *S. helianthus* [27], *R. macrodactylus* [14], *Actinia equina* [28]. Для аминокислотного состава *Oulactis* цитолизинов (табл. 2) характерно высокое содержание неполярных аминокислот, наличие четырех остатков триптофана, отсутствие остатков цистеина. Наблюдается гомология с аминокислотным составом сфингомиелинингибируемых цитолизинов 2-й группы, причем наибольшее подобие – с эквинатоксинами II и V из актинии *A. equina* [3], представителя того же семейства Actiniidae, к которому принадлежит вид *O. orientalis*.

Показано, что гомогенные *Oulactis* цитолизины, подобно цитолизинам тропических видов, не проявляют активность фосфолипазы A_2 , хотя суммарный водный экстракт *O. orientalis* ею обладал [22]. В процессе выделения цитолизинов полипептиды с A_2 -фосфолипазной активностью отделяются от цитолизинов 2 группы на стадии ионообменной хроматографии (рис. 3, пик 1).

Токсичность выделенных цитолизинов в несколько раз ниже токсичности цитолизинов, продуцируемых тропическими видами актиний. Величина летальной дозы LD_{50} составляет 16.36 мг/кг.

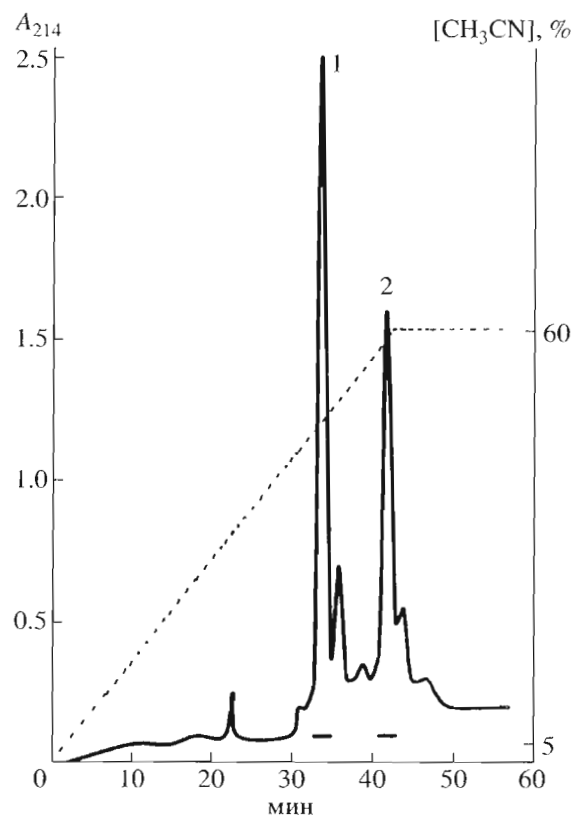


Рис. 4. ВЭЖХ цитолизинов пика 3 (рис. 3) на колонке (4.6×250 мм) с обращенной фазой Nucleosil C₁₈ в градиенте концентрации ацетонитрила (5–60%) в 0.1% трифтормукусной кислоте за 60 мин. Скорость элюции 1 мл/мин. Отмечены границы объединения фракций, проявивших гемолитическую активность.

Установлено также, что гемолитическая активность Or-A и Or-G составляет 295.86 и 322.58 ГЕ/мг белка соответственно, что на два порядка ниже активности *Radianthus* цитолизинов RTX-A и RTX-G [14] и других цитолизинов тропических видов [3]. Значительные различия величин токсической и гемолитической активностей цитолизинов актиний северных умеренных вод и тропических видов связанны, вероятно, с различной средой обитания этих животных. Как известно, биота холодных северных морей гораздо беднее, чем теплых тропических. Предполагается, что биологическая роль цитолизинов, как и нейротоксинов, состоит в умерщвлении жертв, которыми актинии пытаются, в отпугивании хищников и конкурентов в борьбе за место обитания [5]. Установлено, что в водах залива Посыета отсутствует реальная угроза со стороны хищников, которыми для актиний являются крупные, превосходящие их по размерам, голожаберные моллюски [29].

При исследовании липидной специфичности *Oulactis* цитолизинов мы установили, что преинкубация с экзогенным сфингомиелином полностью ингибирует их гемолитическую активность, та-

Таблица 2. Аминокислотный состав цитолизинов *Oulactis* (Or-A, Or-G) из *O. orientalis*, *Equina* (Eqt II, Eqt V) из *A. equina* [28], *Stichodactyla* (Sh I–IV) из *S. helianthus* [27, 36], *Radianthus* (RTX-A, -G, -S) из *R. macrodactylus* [14] (число остатков на 1 моль белка)

Аминокислота	Цитолизины <i>Oulactis</i>		Цитолизины <i>Equina</i>		Цитолизины <i>Stichodactyla</i>				Цитолизины <i>Radianthus</i>		
	Or-A	Or-G	Eqt II	Eqt V	Sh I	Sh II	Sh III	Sh IV	RTX-A	RTX-G	RTX-S
Asx	14	13	18	21	18	14	15	19	16	16	17
Thr	11	9	9	11	9	9	9	9	8	11	6
Ser	8	9	11	12	13	11	10	12	10	10	10
Glx	10	11	9	9	9	10	9	12	10	10	10
Pro	5	5	5	5	5	5	5	7	5	4	5
1/2 Cys	0	0	0	0	0	0	0	0	0	0	0
Gly	18	24	20	20	21	20	18	23	21	20	20
Ala	24	21	17	14	12	14	13	15	14	14	17
Val	9	11	15	16	9	10	10	10	9	8	9
Met	4	5	3	5	5	5	5	5	5	6	6
Ile	6	7	8	8	6	6	7	8	7	7	8
Leu	14	14	16	16	10	10	12	13	12	12	11
Tyr	10	11	11	10	12	9	10	10	10	10	10
Phe	6	5	5	5	5	5	5	5	6	6	6
Trp	4	4	5	4	4	4	4	3	4	4	4
Lys	12	10	10	8	10	10	10	11	11	12	8
His	3	5	5	5	0	1	1	1	2	2	2
Arg	8	9	11	9	8	8	7	8	7	6	7
Число а.о.	166	173	179	179	201	151	150	171	157	158	156
<i>N</i> -Концевая аминокислота	Ala	Gly	Ser	Ser	Ala	Ala	Gly	Ser	Ala	Gly	Ser
<i>M</i> (Да)*	18000	18000	20000	20000	17600	17600	17600	17500	20000	20000	20000
<i>M</i> (Да)**	18286	18726									

Приведены средние значения, полученные из двух экспериментов при гидролизе в течение 24 ч (результаты 48- и 72-часовых гидролизов аналогичны). * Молекулярная масса по данным SDS-электрофореза. ** Молекулярная масса рассчитана исходя из аминокислотного состава.

ким образом, они, подобно *Radianthus* цитолизинам, относятся к группе сфингомиелинингирируемых цитолизинов актиний.

На первом этапе исследования механизма мембранотропного действия *Oulactis* цитолизинов изучено влияние суммы *Oulactis* цитолизинов, полученных после ионообменной хроматографии (рис. 3, пик 3), на ионную проницаемость бислойных липидных мембран (БЛМ) с различным содержанием сфингомиелина. При добавлении фракции цитолизинов в водную фазу наблюдалась дискретные флуктуации тока, характерные для актинопоринов (рис. 5). Обнаружено, что интегральная проводимость БЛМ, индуцированная *Oulactis* цитоли-

зинами, возрастает с увеличением содержания сфингомиелина в мембранах. Более высокая активность токсинов проявлялась при pH среды 8.0, чем при pH 7.2. Действие *Oulactis* цитолизинов на проводимость БЛМ pH- и сфингомиелинзависимо и аналогично действию на мембранные цитолизинов из тропических видов актиний. Анализ концентрационной зависимости действия токсинов показал, что их мембранотропная активность проявляется при концентрациях 300–1000 нг/мл, сравнимых с действующими концентрациями актинопоринов из тропических видов морских актиний [3, 30].

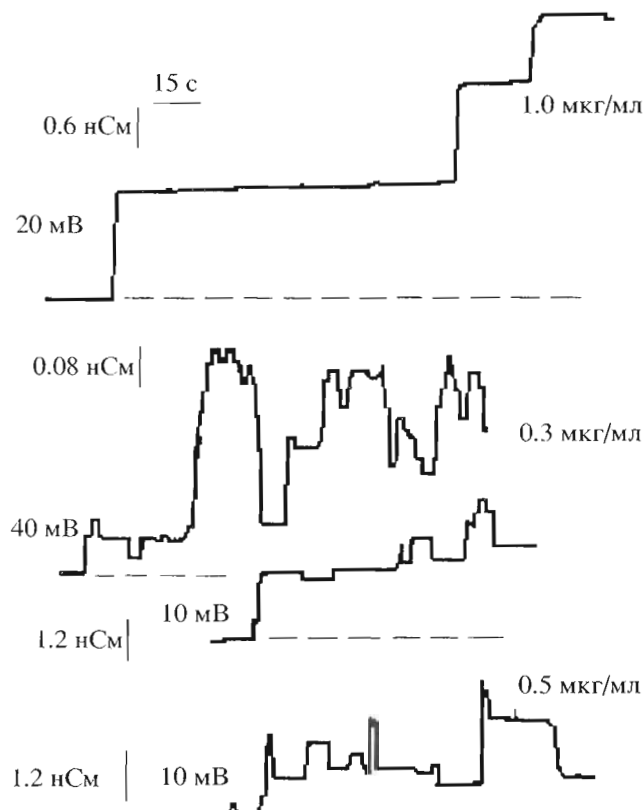


Рис. 5. Записи тока через моноолеиновые БЛМ, содержащие сфингомиелин, при двустороннем введении в водную фазу *Oulactis* цитолизинов. Весовое отношение моноолеин–сфингомиелин равно 10 : 1. Концентрации *Oulactis* цитолизинов и мембранный потенциал указаны на рисунке, pH среды 7.2.

Как показал анализ флюктуаций тока, наиболее вероятная проводимость каналов, формируемых *Oulactis* цитолизинами, составляет 16, 32 и 40 пСм в 0.1 M NaCl и 168, 240 и 320 пСм в 1 M NaCl при pH 7.2 (рис. 6). Таким образом, по характеру действия на проводимость модельных мембран исследуемые цитолизины могут быть отнесены ко

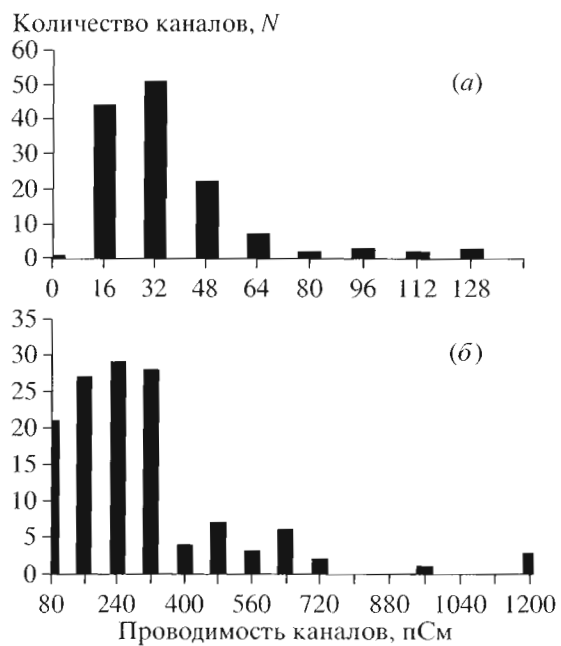


Рис. 6. Гистограммы проводимости каналов, образуемых *Oulactis* цитолизинами: (а) – в 0.1 M NaCl; (б) – в 1 M NaCl.

второй группе цитолизинов актиний – актинопоринам. Их действие на БЛМ состоит в образовании в липидных бислоях ионных каналов различной проводимости. Образуемые *Oulactis* цитолизинами каналы потенциалчувствительны, с увеличением мембранныго потенциала наблюдалось уменьшение действующей концентрации цитолизинов (рис. 5) и нелинейная зависимость величины проводимости каналов от мембранныго потенциала. Исследование параметров одиночных ионных каналов индивидуальных цитолизинов Or-A и Or-G планируется провести в дальнейшем.

К настоящему времени определена полная аминокислотная последовательность восьми актинопоринов из тропических видов: *A. equina* [21, 28], *S. helianthus* [27], *Heteractis magnifica* [31], *A. tenebrosa*

Таблица 3. Сравнение аминокислотных последовательностей N-концевых фрагментов *Oulactis* цитолизинов (Or-A, Or-G) из *O. orientalis*, *Radianthus* цитолизина A (RTX-A) из *R. macroductylus* [14], магнификализинов I и II (Hmg I, Hmg II) из *H. magnifica* [30, 37], *Stichodactyla* цитолизина III (Sh III) из *S. helianthus* [27], эквинатоксина II (Eqt II) из *A. equina* [28] и тенебросина-C (Tn C) из *A. tenebrosa* [31]

	A T F R V L A K
Or-A	G A I I A G A A
Or-G	A L A G A I I A G G V L G L K I L I E V L G E L G K V K V K I
RTX-A	A L A G T I I A G A S L T F K I L D E V
Hmg I	A L A G T I I A G A S L T F K I L D E V
Hmg II	S A A L A G T I I D G A S L G F D I L N K V
Sh III	A L A G T I I A G A S L T F Q V L D K V L E E L G K V S R S G
Eqt II	S A D V A G A V I D G A S L S F D I L K T V L E A L G N V K R K I
Tn C	S A D V A G A V I D G A S L S F D I L K T V L E A L G N V K R K I

rosa [32], шесть из которых – эквинатоксины II, IV и V из *A. equina* [33–35], стихолизины I и II (II более известен как цитолизин III) из *S. helianthus* [36] и цитолизин HmgIII из *H. magnifica* [37] были клонированы.

Нами установлена аминокислотная последовательность *N*-концевых фрагментов *Oulactis* цитолизинов Or-A (ATFRVLAK-) и Or-G (GAIAGAA-) соответственно. Как видно из табл. 3, представленные фрагменты Or-A и Or-G имеют от 25 до 75% гомологии с *N*-концевыми фрагментами последовательностей актинопоринов тропических актиний *R. macrodactylus* [14], *S. helianthus* [27], *A. equina* [28], *H. magnifica* [31], *A. tenebrosa* [32]. Отмечается высокая степень гомологии (75%) между фрагментами обоих *Oulactis* цитолизинов и *Stichodactyla* цитолизином III (Sh III) несмотря на то, что виды *O. orientalis* и *S. helianthus* являются представителями разных семейств – Actiniidae и Stichodactylidae соответственно. При этом наблюдается некоторый сдвиг *N*-концевых фрагментов аминокислотных последовательностей *Oulactis* цитолизинов по сравнению с *N*-концевыми последовательностями остальных цитолизинов. Очевидно, более низкую гемолитическую и токсическую активности Or-A и Or-G можно объяснить этими различиями. Известно, что *N*-концевые α-спиральные участки молекул играют важную роль в мембранотропном действии актинопоринов, отвечающих за их гемолитическую активность [38, 39].

Наши дальнейшие исследования будут направлены на установление полной аминокислотной последовательности Or-A и Or-G, а также олигонуклеотидной последовательности генов, кодирующих эти актинопорины.

ЭКСПЕРИМЕНТАЛЬНАЯ ЧАСТЬ

В работе использовали полихром-1 (Олайне, Латвия), Акрилекс П-4 (Reanal, Венгрия), целлюлозу CM-32 (Whatman, Англия); набор стандартов для определения молекулярных масс (Pharmacia, Fine Chemicals AB, США); реактивы для электрофореза в ПААГ, 5-диметиламинонафтилин-1-сульфохлорид (Serva, Германия); холестерин, сфингомиelin, моноолеин (Sigma, США). Все остальные реактивы отечественного производства имели квалификацию “ос. ч.”.

Приготовление экстракта. Актинии *O. orientalis* собирали на глубине до 1 м в бухте Посыпет Японского моря (Хасанский район Приморского края) и хранили при -20°C . Их видовая принадлежность определена Костиной Е.Е. (Институт биологии моря ДВО РАН, Владивосток). Цельные актинии гомогенизировали (0.5 кг) в трех объемах холодной дистиллированной воды, после экстракции биологически активных соединений в течение 24 ч экстракт фильтровали через

несколько слоев ткани, а затем центрифugировали при 3000 *g* в течение 1 ч (K-23, Германия). Осадок отбрасывали, супернатант повторно центрифугировали при 10000 *g* в течение 2 ч (K-24, Германия). Липидный слой отбрасывали, прозрачный супернатант использовали для дальнейшей очистки цитолизинов.

Все выделительные операции проводили при 4°C .

Во всех фракциях определяли гемолитическую и трипсингибирующую активности. Количество белка (при всех видах хроматографии) определяли по методу Лоури [40]. В качестве стандарта использовали бычий сывороточный альбумин.

Гидрофобную хроматографию водного экстракта *O. orientalis* (рис. 1) проводили на колонке (2.6×15 см) с полихромом-1, уравновешенным водой. Элюцию цитолизинов осуществляли водой (1500 мл), элюцию ингибиторов протеиназ – 40%-ным этиловым спиртом (1200 мл) со скоростью 3 мл/мин, объем фракций составлял 9 мл. Детектирование осуществляли с помощью проточного спектрофотометра Uvicord 8300 (LKB, Швеция) при длине волны 280 нм.

Обессоливание и гель-фильтрацию объединенной фракции пика 1 (рис. 1) проводили на колонке (3×90 см) с Акрилексом П-4 (рис. 2), уравновешенным 0.01 М аммоний-ацетатным буфером, pH 6.0 при скорости элюции 18 мл/ч. Объем фракции 4.5 мл.

Ионообменную хроматографию актинопоринов *O. orientalis* (объединенной фракции пика 1 (рис. 2)) выполняли на колонке (2.6×50 см) с целлюлозой CM-32 (рис. 3), уравновешенной 0.01 М аммоний-ацетатным буфером, pH 6.0 в градиенте концентрации NaCl (0–0.5 M, общий объем 2 л) в рабочем буфере. Скорость элюции составляла 24 мл/ч, объем фракции 10 мл.

Для обращенно-фазовой ВЭЖХ использовали хроматограф Altex 114M Solvent Delivery Module (Beckman, США), детектор 2151 (LKB, Швеция) и колонку Nucleosil C₁₈ (4.6×250 мм) (Sigma Aldrich, США) (рис. 4). Хроматографию актинопоринов (рис. 3, пик 3) проводили в градиенте концентрации ацетонитрила (5–60%) в 0.1% трифтормукусной кислоте, pH 2.2. Скорость элюции составляла 1 мл/мин.

SDS-электрофорез актинопоринов проводили по методу Лэммли [41] в вертикальных пластинах ($9 \times 12 \times 1$ мм) 14%-ного полиакриламидного геля в присутствии 0.1% додецилсульфата натрия. Для определения молекулярной массы полипептидов в качестве стандартов использовали белки-маркеры (*M*, кДа): фосфолипазу В (94), альбумин (67), овалбумин (43), карбоангидразу (30), α -лактоальбумин (14) (набор (Serva, ФРГ)).

Масс-спектрометрический анализ молекулярной массы актинопоринов MALDI-TOF проводили

ли в группе масс-спектрометрии ИБХ им. акад. М.М. Шемякина и Ю.А. Овчинникова РАН на времяпролетном масс-спектрометре Vision 2000 (Thermo, Англия). Времяпролетные масс-спектры фиксировали в прямом пролете и режиме рефлектора.

N-Концевые аминокислотные остатки Ог-А и Ог-Г определяли по методу Грэя [42]. Дансильные производные аминокислот идентифицировали двумерной ТСХ на пластинах (5×5 см) с закрепленным слоем силикагеля марки КСК (5–7 мк) 481 [43].

Аминокислотный анализ осуществляли на аминокислотном анализаторе D-500 (Durum, США). Образцы полипептидов (2.5–3 нмоль) гидролизовали 24, 48 и 72 ч 5.7 н. HCl при 110°C. Содержание триптофана определяли спектрофотометрически на приборе Cary 219 (Varian, Англия) по вторым производным УФ-спектров полипептидов.

N-Концевую аминокислотную последовательность Ог-А и Ог-Г определяли на автоматическом секвенаторе белков Procise модели 492 (Applied Biosystems, США) по программе производителя.

Гемолитическую активность актинопоринов определяли на эритроцитах мыши в среде, содержащей 0.9 % NaCl, 1 мМ KCl, 10 мМ глюкозу, 5 мМ Трис-HCl-буфер, pH 7.4. Уровень гемоглобина в супернатанте измеряли спектрофотометрически при 540 нм после предварительного охлаждения реакционной смеси и ее центрифугирования для осаждения эритроцитов и их теней. Лизис 0.7% суспензии эритроцитов (1.2 ОЕ₇₂₀) под действием 10 мкл 1% водного раствора голотурина А из морской кукумарии *Holothuria leucospilota* (любезно предоставленный лабораторией химии морских природных соединений ТИБОХ ДВО РАН) принимали за 100%-ный гемолиз (соответствует поглощению 0.9 при 540 нм). За одну гемолитическую единицу (ГЕ) принимали количество белка, вызывающее 50%-ный гемолиз в 1 мл 0.7% суспензии эритроцитов за 30 мин при 37°C.

Токсичность актинопоринов определяли на белых беспородных мышах весом 20–22 г внутрибрюшинной инъекцией исследуемой пробы. Для количественного определения токсической активности полипептидов использовали величину летальной дозы LD₅₀, мг/кг (количество белка, при введении которого 50% экспериментальных животных гибнут).

Трипсинингибирующая активность. К 200 мкл раствора трипсина (100 мкг/мл 1 мМ HCl) и 250 мкл 0.1 М Трис-HCl-буфер (pH 8.1) добавляли 50 мкл водного раствора исследуемого образца. Смесь выдерживали 5 мин при 37°C, затем добавляли 250 мкл раствора субстрата трипсина *n*-нитроанилида N-бензоил-D,L-аргинина, приготовленного как было описано [13]. Количество образовавшегося в результате гидролиза *n*-нитроанилина оп-

ределяли при 410 нм. Измерение проводили относительно контрольного образца, содержащего субстрат, денатурированный фермент и ингибитор в соответствующем разбавлении. За единицу трипсинингибирующей активности принимали количество белка, необходимое для 50%-ного ингибирования 1 мг трипсина.

Фосфолипазную активность в полипептидных фракциях определяли по появлению продуктов гидролиза лецитина (*L*- α -фосфатидилхолина) – субстрата фосфолипазы A₂, обнаруживаемых ТСХ на пластинах с закрепленным слоем SiO₂ по ранее предложенному методу [44].

Ингибирующее действие сфингомиелина определяли по методу Бернхаймера [45]. Цитолизины предварительно инкубировали с дисперсией сфингомиелина в молярном соотношении 1 : 1, 1 : 2, 1 : 4, 1 : 8, 1 : 16, 1 : 50, 1 : 100 в течение 60 мин. Степень гемолиза эритроцитов, добавленных к липид-белковой смеси, определяли спектрофотометрически при 540 нм по поглощению супернатанта, полученного после центрифугирования суспензии эритроцитов.

Бислойные липидные мембранны (БЛМ) формировали на отверстии тефлонового стаканчика диаметром 0.25 мм по методу Мюллера [46] из 1% раствора моноолеина в *n*-гептане, содержащего сфингомиелин в заданных концентрациях. Водная фаза, в которой формируется БЛМ, 0.1 или 1 М NaCl, 10 мМ Нерес, pH 7.2 и 8.0. Цитолизины добавляли в водную фазу до формирования БЛМ.

Измерение электрических характеристик БЛМ проводили при комнатной температуре. Ток через БЛМ измерялся высокоменным вольтметром-электрометром ВК2-16 в режиме фиксации потенциала на мемbrane с помощью хлорсеребряных электродов с потенциалом асимметрии 2–3 мВ. Регистрация тока на выходе усилителя осуществлялась потенциометром КПС-4.

БЛАГОДАРНОСТИ

Авторы выражают искреннюю благодарность Костиной Е.Е. (ИБМ ДВО РАН, Владивосток) за определение видовой принадлежности актинии *O. orientalis*, Гребельному С.Д. (Зоологический институт РАН, Санкт-Петербург) за помощь при определении видовой принадлежности этой актинии и Гришину Е.В. (ИБХ РАН, Москва) за критические замечания в обсуждении результатов.

Данная работа частично поддержана грантами РФФИ (№ 02-04-49486), ДВО РАН (№ 03-1-05-002) и Программой Президиума РАН “Молекулярная и клеточная биология” (№ 03-1-0-05-002).

СПИСОК ЛИТЕРАТУРЫ

1. *Kem W.R.* // *The Biology of Nematocysts* // Eds D.A. Hessinger, H.M. Lenhoff. New York: Academic Press, 1988. P. 375–405.
2. *Norton R.S.* // *J. Toxicol.-Toxin Rev.* 1998. V. 17. P. 99–130.
3. *Anderluh G., Maček P.* // *Toxicon*. 2002. V. 40. P. 111–124.
4. *Turk T.* // *J. Toxicol.-Toxin Rev.* 1991. V. 10. P. 223–262.
5. *Maček P.* // *FEMS Microbiol. Immunol.* 1992. V. 105. P. 121–130.
6. *Tejica M., Anderluh G., Maček P., Marcket R., Torres D., Sarracent J., Alvarez C., Lanio M.E., Serra M.D., Menestrina G.* // *Int. J. Parasitol.* 1999. V. 29. P. 489–498.
7. *Batista U., Maček P., Sedmak B.* // *Period. Biol.* 1986. V. 88. P. 97–98.
8. *Kem W.R., Pennington M.W., Norton R.S.* // *Perspect. Drug Discov. Des.* 1999. V. 16. P. 11–129.
9. *Shnyrov V.L., Monastyrnaya M.M., Zhadan G.G., Kuznetsova S.M., Kozlovskaya E.P.* // *Biochem. Int.* 1992. V. 26. P. 219–229.
10. *Zhadan G.G., Kuznetsova S.M., Opalkova O.V., Monastyrnaya M.M., Emelyanenko V.I., Zykova T.A., Villar E., Shnyrov V.L.* // *Biochem. Mol. Biol. Int.* 1994. V. 32. P. 331–340.
11. *Chanturiya A.N.* // *Biochim. Biophys. Acta*. 1990. V. 1026. P. 248–250.
12. *Elliott R.C., Konya R.S., Vickneshwara K.* // *Toxicon*. 1986. V. 24. P. 117–122.
13. *Зыкова Т.А., Монастырная М.М., Аналкова О.В., Швец Т.В., Козловская Э.П.* // *Биоорганическая химия*. 1998. Т. 24. С. 509–516.
14. *Monastyrnaya M.M., Zykova T.A., Apalikova O.W., Shwets T.W., Kozlovskaya E.P.* // *Toxicon*. 2002. V. 40. P. 1197–1217.
15. *Linder R., Bernheimer A.W., Kim K.S.* // *Biochim. Biophys. Acta*. 1977. V. 467. P. 290–300.
16. *Иванов А.С., Мольнар А.А., Козловская Э.П., Монастырная М.М.* // *Биол. мембранны*. 1987. Т. 4. С. 243–248.
17. *Gomez T., Wong L., Chavez M., Lanio M.E., Romero L.* // *Toxicon*. 1987. V. 25. P. 369.
18. *Grotendorst G.R., Hessinger D.A.* // *Toxicon*. 1999. V. 37. P. 1779–1796.
19. *Bernheimer A.W., Avigad L.S.* // *Biochim. Biophys. Acta*. 1978. V. 541. P. 96–106.
20. *Монастырная М.М., Козловская Э.П., Иванов А.С., Мольнар А.А., Халилов Э.М., Еляков Г.Б.* // *Биол. мембранны*. 1988. Т. 5. С. 830–835.
21. *Norton R.S., Maček P., Reid G.E., Simpson R.J.* // *Toxicon*. 1992. V. 30. P. 13–23.
22. *Клышико Е.В., Ильина А.П., Монастырная М.М., Бурцева Ю.В., Костица Е.Е., Зыкова Т.А., Мензолова Н.И., Козловская Э.П.* // *Биол. моря*. 2003. Т. 29. С. 189–194.
23. *Shiom K., Ishikawa M., Yamanaka H., Kikuchi T.* // *Nippon Suisan Gakkaishi*. 1989. V. 55. P. 1235–1241.
24. *Lenarčič B., Ritonja A., Štrukelj B., Turk B., Turk V.* // *J. Biol. Chem.* 1997. V. 272. P. 13899–13903.
25. *Швец Т.В., Монастырная М.М., Зыкова Т.А., Козловская Э.П.* // Сб. тез. докл. Второго Межд. Симп. “Химия и химическое образование” / Владивосток: Изд-во ДВГУ, 2000. С. 233.
26. *Зыкова Т.А., Винокуров Л.М., Маркова Л.Ф., Козловская Э.П., Еляков Г.Б.* // *Биоорганическая химия*. 1985. Т. 11. С. 293–301.
27. *Blumenthal K.M., Kem W.R.* // *J. of Biol. Chem.* 1983. V. 258. P. 5574–5581.
28. *Ferlan I., Jackson K.W.* // *Toxicon*. 1983. V. 21 (Suppl. 3). P. 141–144.
29. *Костица Е.Е.* Распространение и экология современных ископаемых морских организмов. Владивосток: ДВО АН СССР, 1990. С. 89–96.
30. *Руднев И.С., Лихацкая Г.Н., Козловская Э.П., Монастырная М.М., Еляков Г.Б.* // *Биол. мембранны*. 1984. Т. 1. С. 1019–1024.
31. *Khoo K.S., Kam W.K., Khoo H.E., Gopalakrishna P., Chung M.C.M.* // *Toxicon*. 1993. V. 31. P. 1567–1579.
32. *Thomson M., Moritz R.L., Simpson R.J., Norton R.S.* // *Biochem. Int.* 1987. V. 15. P. 711–718.
33. *Anderluh G., Pungerčar J., Štrukelj B., Maček P., Gubenšek F.* // *Biochem. Biophys. Res. Commun.* 1996. V. 220. P. 437–442.
34. *Pungerčar J., Anderluh G., Gubenšek F., Štrukelj B.* // *Biochem. Biophys. Acta*. 1997. V. 1341. P. 105–107.
35. *Anderluh G., Barlič A., Podlesek Z., Maček P., Pungerčar J., Gubenšek F., Zechini M.L., Serra M.D., Menestrina G.* // *Eur. J. Biochem.* 1999. V. 263. P. 128–136.
36. *Lanio E.M., Morera V., Alvarez C., Tejica M., Gomez T., Pazos F., Basada V., Martinez D., Huerta V., Padron G., Chavez M.A.* // *Toxicon*. 2001. V. 39. P. 187–194.
37. *Wang Y.W., Chua K.L., Khoo H.E.* // *Biochim. Biophys. Acta*. 2000. V. 1478. P. 9–18.
38. *Anderluh G., Pungerčar J., Krizaj I., Štrukelj B., Gubenšek F., Maček P.* // *Protein Eng.* 1996. V. 10. P. 751–755.
39. *Maček P., Belmont G., Pederzolli C., Menestrina G.* // *Toxicology*. 1994. V. 87. P. 205–227.
40. *Lowry O.H., Rosebrough N.J., Fearn A.L., Randall R.J.* // *J. Biol. Chem.* 1951. V. 193. P. 265–275.
41. *Laemmli U.K.* // *Nature*. 1970. V. 227. P. 680–682.
42. *Grey W.R.* // *Methods in Enzymology* / Eds C.H.W. Hirs, S.N. Timasheff. New York; San Francisco; London: Acad. Press, 1972. V. 11. P. 121–139.
43. *Беленький Б.Г., Ганкина Е.С., Нестеров В.В.* // *Докл. АН СССР*. 1967. Т. 172. С. 91–93.
44. *Vaskovsky V.E., Suppes Z.S.* // *Comp. Biochem. Physiol.* 1972. V. 43B. P. 601–609.

45. Bernheimer A.W., Avigad L.S. // Proc. Natl. Acad. Sci. USA. 1976. V. 73. P. 467–471.
 46. Muller P., Rudin D.O., Tien H.T., Wescott W.C. // Phis. Chem. 1963. V. 67. P. 534–535.

Actinoporins from the Sea of Japan Anemone *Oulactis orientalis*: Isolation and Partial Characterization

A. P. Il'ina#, M. M. Monastyrnaya*, I. N. Sokotun*, Ts. A. Egorov**,
Yu. A. Nazarenko*, G. N. Likhatskaya*, and E. P. Kozlovskaya***

#Fax: +7-(4232) 31-4050; e-mail: annil@piboc.dvo.ru

*Pacific Institute of Bioorganic Chemistry, Far Eastern Branch, Russian Academy of Sciences,
pr. 100 let Vladivostoku 159, 690022 Russia

**Shemyakin–Ovchinnikov Institute of Bioorganic Chemistry, Russian Academy of Sciences,
ul. Miklukho-Maklaya 16/10, Moscow, 117997 Russia

Two cytolytic toxins (cytolysins Or-A and Or-G) were isolated from the Sea of Japan anemone *Oulactis orientalis* and characterized. Their purification scheme involved a hydrophobic chromatography on Polychrom 1, a gel filtration on Akrilex P-4, a cation-exchange chromatography on CM-32 cellulose, and a reversed-phase HPLC on a Nucleosil C₁₈ column. The molecular masses of Or-A and Or-G were determined by SDS-PAGE in 14% PAG to be ca. 18 kDa. The absence of Cys residues and a high content of basic amino acid residues are characteristic of their amino acid compositions. The hemolytic activities of Or-A and Or-G were found to be 295.86 and 322.58 HU/mg, respectively; these are by three orders of magnitude lower than those of sphingomyelin-inhibitable cito-lysin from the tropic sea anemones. The amino acid sequences of the N-terminal fragments of Or-A and Or-G were determined to be ATFRVLA and GAIAGAA, respectively. Action of the cito-lysin on the erythrocyte membrane is inhibited by exogenous sphingomyelin. They form ion channels in bilayer lipid membranes with the conductivity of 16, 32, and 40 pSm in 0.1 M NaCl and 168, 240, and 320 pSm in 1 M NaCl at pH 7.2. Therefore, they were attributed to the group of actinoporins. The English version of the paper: *Russian Journal of Bioorganic Chemistry*, 2005, vol. 31, no. 1; see also <http://www.maik.ru>.

Key words: actinoporin, amino acid sequence, membranolytic activity, sea anemone